

---

---

# О ПОГРЕШНОСТЯХ ИЗМЕРЕНИЯ ДИЭЛЕКТРИЧЕСКИХ ПРОНИЦАЕМОСТЕЙ ВЕЩЕСТВА МЕТОДОМ СПИРАЛЬНОГО РЕЗОНАТОРА

**К. П. Яцук**

## ВВЕДЕНИЕ

В работе [1] был описан резонаторный вариант метода спирального резонатора для измерения диэлектрических проницаемостей вещества на сверхвысоких частотах. Представляет интерес рассмотрение вопроса о погрешностях указанного метода. Можно сказать, что погрешности метода обусловлены двумя причинами: погрешностями измерений и приближениями, допущенными при выводе формулы. Анализ формулы, по которой рассчитывается  $\epsilon$ , позволит определить величину погрешностей измерений и указать пути уменьшения их. Правильность принятых предположений может быть оценена путем проверки формулы на образцах с известным значением диэлектрических проницаемостей вещества.

### § 1. О погрешностях формулы для измерения $\epsilon$ твердых образцов

Как показано в работе [1], формула для определения  $\epsilon$  образцов, выполненных в виде тонких стержней и расположенных по оси системы «спираль в резонаторе», имеет вид

$$\epsilon = \frac{A(z^2 - 1)}{z} + 1 = \frac{(\mu_1^b + \mu_0^b)(z^2 - 1)}{(\mu_0^b - \mu_0^R) - z(\mu_0^b - \mu_0^a)} + 1,$$

где

$$\begin{aligned} A &= \mu_1^r - \mu_0^r; \\ z &= (\mu_0^b - \mu_0^R) - z^2(\mu_0^r - \mu_0^a); \\ \mu_m^n &= \frac{K_m^n}{I_m^n} = \frac{K_m\left(\frac{2\pi}{\lambda_g} n\right)}{I_m\left(\frac{2\pi}{\lambda_g} n\right)}; \end{aligned} \quad (1)$$

$m = 0, 1;$

$n = a, b, r$  — радиусы спирали, образца и резонатора соответственно;  
 $\lambda_g$  — длина замедленной волны на частоте  $f_0$ ;

$I^n, I_1^n, K_0^n, K_1^n$  — модифицированные функции Бесселя от аргумента  $\frac{2\pi}{\lambda_g} n$ ;  
 $z^2 = (f_0 f_1)^2$ ;  $f_0, f_1$  — резонансные частоты резонатора без образца и с образцом соответственно.

порядка 16 мм абсолютная ошибка измерения его должна быть порядка 0,16 мм, что достигается легко при измерении с помощью штанген-циркуля.

Обеспечить  $\frac{\Delta a}{a} = 10^{-3}$  и  $\frac{\Delta b}{b} = 10^{-3}$  значительно сложнее. Например, если радиус спиралы  $a = 7 \div 10$  мм, а измерение с помощью штанген-циркуля обеспечивает относительную ошибку измерения в 0,1 мм, то  $\frac{\Delta a}{a} = 10^{-2}$ . Так как коэффициенты ошибок для  $a$  составляют порядок  $1 \div 2,5$ , то и слагаемое относительной ошибки измерения за счет неточности измерения радиуса  $a$  составит величину  $x_a = 1 \div 2,5\%$ . При

измерении диаметра образца с помощью микрометра можно обеспечить абсолютную ошибку измерений  $\Delta b = 10^{-2}$  м.м., а так как диаметры образцов составляют величину порядка 0,5—1 мм, то  $\frac{\Delta b}{b} = 1 \div 2 \cdot 10^{-2}$  и слагаемое относительной ошибки измерения за счет неточности измерения диаметра образца даст величину порядка 1—2%.

Можно увеличить точность измерения  $a$  и  $b$  путем использования микроскопа. С этой стороны задача оказывается разрешимой. Гораздо сложнее выполнить условия неизменности радиуса спирали за счет наряжения при сборке системы

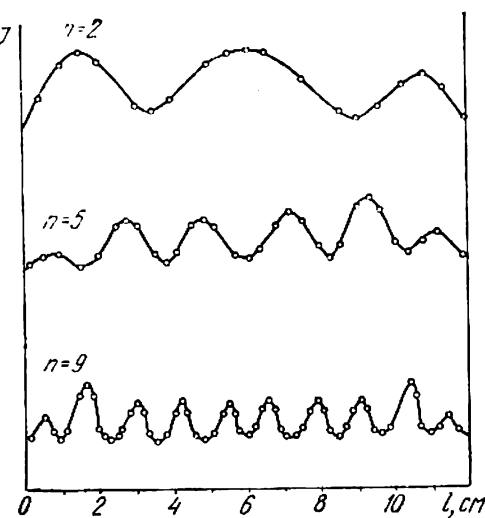


Рис. 3.

и изготовление образца с допуском  $\frac{\Delta b}{b} = 10^{-3}$  по всей длине образца.

Для обеспечения в нашем случае  $x_{\lambda_g}$  меньше 1% необходимо производить измерения длины замедленной волны в системе с абсолютной ошибкой порядка 1 мм в длинноволновой части диапазона, порядка нескольких миллиметров в средней части и порядка 0,1 мм в коротковолновой части диапазона частот. Измерять длину замедленной волны в системе можно по числу полуволн в системе и известной длине резонатора. При этом допускается определенная неточность в определении длины волны  $\lambda_g$  за счет наличия краевых эффектов. Как отметил еще Л. Н. Дерюгин [2], для спиральной системы не существует плоской зеркальной симметрии, необходимой для точного формирования поля в резонансном макете, и потому поля в системе будут несколько отличаться от полей в бесконечной спирали, для которой и получены все формулы.

На рис. 3 представлены зонограммы полей, снятые для случаев, когда в системе укладывается 2,5 и 9 полуволн. Из рисунка видно, что у торцов системы картины полей искажены. Измеренные по зонограммам длины волн  $\lambda_g$  без учета искажений у торцов отличаются от длин волн, определенных по числу полуволн в системе таким образом, что  $\frac{\Delta \lambda_g}{\lambda_g}$  оказывается порядка 10%. Если считать, что именно это различие

в длинах волн и определяет величину относительной ошибки измерения  $\lambda_g$ , то с учетом величин коэффициентов ошибок  $S(\lambda_g)$  слагаемое  $\chi_{\lambda_g}$  будет составлять величину порядка 1% в средней части диапазона и величины порядка 5—7% по краям диапазона частот.

Точность измерения резонансных частот определяется как прибором, примененным для измерений, так и добротностью резонатора. Применение волномеров высокой точности решает первую часть вопроса. Так, для описываемого резонатора в области от 200 до 800 мгц точность определения частоты была равна  $\frac{\Delta f}{f} = 10^{-5}$ , так как был применен волномер ВВТ-Д. И при этом слагаемое за счет измерения частоты  $\chi_f$  оказывалось порядка 0,8%.

Точность измерения частоты  $f_1$ , соответствующая резонансу системы при наличии в ней испытуемого образца, уже не определяется только возможностями измерителя частоты, но и зависит в большой степени от точности установления резонанса, т. е. от добротности резонатора. При работе было обнаружено, что при внесении в резонатор одного и того же образца в разное время сдвиги частот могли отличаться на 5—6%, что говорит о том, что точность определения частоты

$f_1$  составляет величину  $\frac{\Delta f_1}{f_1} = 10^{-4}$  и это приводит к ошибке  $\chi_{f_1} = 5—7\%$ .

Как видно из сказанного, общая ошибка измерения  $\epsilon$  в нашем случае составляла величину порядка 13—15% по краям диапазона частот и величину порядка 10% в средней его части.

Для примера на рис. 4 показаны результаты измерения и расчета  $\epsilon$  стеклянного стержня диаметром  $2b = 1,19$  мм в диапазоне частот и для сдвигов частот, указанных на графике 1, и для длин волн  $\lambda_g$ , определенных по числу полуволн в системе (см. кривую 2). Кривая 1 представляет собой рассчитанные значения  $\epsilon$  для образца из полиэтилена диаметром  $2b = 0,72$  мм. Из графика видно, что наибольшие отклонения значений диэлектрических проницаемостей вещества получаются по краям диапазона частот. Отмеченное завышение значений  $\epsilon$  и для других образцов и материалов со стороны длинных волн позволяет сделать вывод о существовании систематической ошибки со стороны длинных волн. Вероятнее всего, это завышение обусловлено наибольшим искажением поля на этих частотах по сравнению с полем в бесконечной спирали, для которой выведены все соотношения.

Так как основная доля ошибки измерения  $\epsilon$  определяется неточностью измерения частот и длин замедленных волн в системе, то для увеличения точности измерений нужно идти по пути устранения погрешностей, обусловленных указанными двумя параметрами. При этом следует идти в направлении увеличения жесткости конструкции для устранения разброса в значениях сдвигов частот и уменьшения ошибки

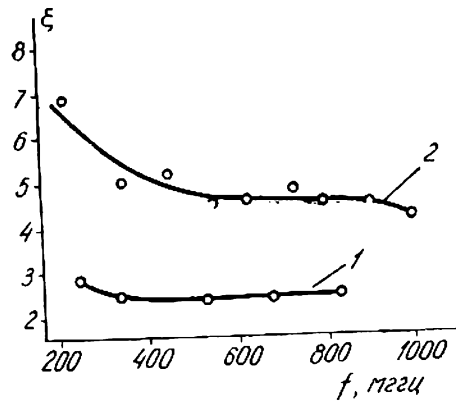


Рис. 4.

в определении радиуса спирали. Для уменьшения ошибки за счет неточности измерения замедленной длины волны следует применять спираль с более густой намоткой, т. е. максимально приблизить реальный случай к условию анизотропно проводящего цилиндра. Можно ожидать, что указанным путем можно будет понизить общую ошибку измерения в примерно до 3%.

#### ЛИТЕРАТУРА

1. К. П. Яцук, В. П. Шестопалов. ЖТФ, XXXII, № 1, 1962.
  2. Электромагнитные замедляющие системы. «Тр. МАИ им. С. Орджоникидзе», 125, М., Оборонгиз, 1960.
-